

## ОБ АСТИГМАТИЗМЕ ВОГНУТЫХ СФЕРИЧЕСКИХ ДИФРАКЦИОННЫХ РЕШЕТОК С НЕПРЯМОЛИНЕЙНЫМИ ШТРИХАМИ

С. А. Стрежнев и Н. С. Шмидт

Теоретически исследованы свойства вогнутых сферических решеток с непрямолинейными штрихами. У таких решеток фокальная кривая для сагиттальных лучей представляет собой прямую, пересекающую фокальную кривую для меридиональных лучей, окружность Роуланда, в двух точках. В этих точках наблюдается стигматическое изображение, а вблизи них астигматизм достаточно мал. Рассмотрены условия получения и рассчитаны оптимальные квазистигматические области при установке решеток по автоколлимационной схеме и схеме нормального падения. Показано, что наибольшие квазистигматические области  $0 \div 233.2$ ,  $0 \div 466.4$  и  $0 \div 932.8$  нм можно получить с решетками соответственно 1200, 600 и 300 штр./мм, установленными по автоколлимационной схеме. Ширина квазистигматических областей решеток в указанных схемах достаточна для проведения спектрографических исследований.

Основным недостатком вогнутых дифракционных решеток, изготовленных на сферических поверхностях, является астигматизм. Известные способы компенсации астигматизма относятся к вогнутым решеткам с прямыми штрихами и связаны главным образом с изменением расстояния между штрихами [1-3] и формы поверхности решетки [4-9]. Как показали исследования [10], путем изменения шага можно исправить астигматизм вогнутых сферических решеток в установке нормального падения и в установке Иглы в области длин волн, пригодной для спектрографического исследования. Для решетки с радиусом кривизны 1 м, 300 штр./мм этому условию удовлетворяет область длин волн короче 650 нм, а для решетки 600 штр./мм при нормальном падении от 320 до 420 нм и в автоколлимации короче 450 нм. Аналогичные результаты в указанных установках были получены с вогнутыми решетками, изготовленными на тороидальных поверхностях [11, 12]. Следует отметить, что в отличие от тороидальных решеток фокальная кривая решеток с переменным шагом не является окружностью Роуланда и рассчитывается в каждом конкретном случае.

В работах [13, 14] была показана возможность компенсации астигматизма путем искривления штрихов решеток. Сведения об изготовлении решеток с такими штрихами сообщались в работе [9]. Однако подробных данных о свойствах решеток и способе их изготовления опубликовано не было. Теоретические исследования свойств вогнутых решеток со штрихами круговой формы, нанесенными на эллиптически-тороидальную поверхность [15], показали, что решетки этого типа по сравнению с решетками, имеющими прямые штрихи, образуют две стигматические точки по одну сторону от нормали к решетке. Благодаря этому астигматизм указанных решеток становится в несколько раз меньше, чем для решеток с прямыми штрихами. Фокальная кривая, круг Роуланда, остается без изменений. Как показано в работе [12], вследствие незначительной асферичности применение решеток на эллипсоидальных поверхностях для схем нормального падения целесообразно.

Теоретические исследования астигматизма, выполненные нами на основе принципа Ферма в трактовке, данной Кандлером [16], показали,



что квазистигматическая область вогнутых сферических решеток с непрямолинейными штрихами при установках их в спектрографах по схеме Иглы и нормального падения шире, чем у решеток с переменным шагом и у тороидальных с прямыми штрихами. Результаты этих исследований приведены в настоящей статье.

Рассмотрим схему нанесения штрихов на вогнутую сферическую поверхность. Выберем прямоугольную систему координат так, чтобы центр кривизны сферической поверхности с радиусом кривизны  $R$  совпадал с началом координат  $O$  (рис. 1). Пусть проекция штриха на плоскость, перпендикулярную нормали  $OO'$  к поверхности решетки, будет представлять дугу окружности радиуса  $r$ .

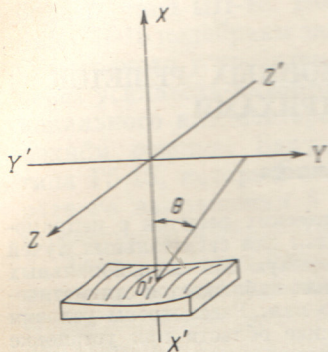


Рис. 1. Схема нанесения непрямолинейных штрихов на вогнутую сферическую поверхность.

Тогда форма штриха на решетке определится как линия пересечения поверхности сферы и кругового цилиндра, задаваемых уравнениями

$$\left. \begin{aligned} x^2 + y^2 + z^2 &= R^2, \\ (y - r)^2 + z^2 &= r^2. \end{aligned} \right\} \quad (1)$$

С целью упрощения дальнейших вычислений уравнение кругового цилиндра взято для случая центрального штриха.<sup>1</sup> Найдем радиус кривизны штриха  $\rho$  и угол  $\theta$ , образуемый плоскостью, в которой лежит штрих, с плоскостью  $ZOO'$ . Для этого форму штриха в пространстве, определяемую уравнениями (1), запишем в параметрической форме

$$\left. \begin{aligned} x &= -\sqrt{R^2 - 2r^2 + 2r\sqrt{r^2 - z^2}}, \\ y &= z - \sqrt{r^2 - z^2}, \\ z &= z. \end{aligned} \right\} \quad (2)$$

Если кривая задана параметрически, то радиус кривизны ее определится по известной формуле

$$\rho = \frac{(x'^2 + y'^2 + z'^2)^{3/2}}{\sqrt{(x'^2 + y'^2 + z'^2)(x''^2 + y''^2 + z''^2) - (x'x'' + y'y'' + z'z'')}}. \quad (3)$$

Продифференцировав (2) и подставив производные  $x', y', z', x'', y'', z''$  в (3) при  $z \rightarrow 0$ , получим радиус кривизны нелинейного штриха

$$\rho = \frac{R}{\sqrt{1 + \left(\frac{R}{r}\right)^2}}. \quad (4)$$

Плоскость, в которой лежит штрих, определится уравнением

$$\begin{vmatrix} X - x & Y - y & Z - z \\ x' & y' & z' \\ x'' & y'' & z'' \end{vmatrix} = 0,$$

которое с учетом значений  $x', y', z', x'', y'', z''$  можно записать в виде

$$XR - Yr = 0. \quad (5)$$

<sup>1</sup> Отклонения постоянной на концах штрихов по поверхности решетки от заданного значения, вызванные тем, что штрихи решеток не являются дугами концентрических окружностей, не превышают тысячных долей микрона и не вносят искажений в образование изображения, даваемого решеткой с непрямолинейными штрихами.



Отсюда  $\theta$  — угол между плоскостью штриха и плоскостью  $ZOO'$  — определяется как

$$\theta = \arctg \frac{R}{r}. \quad (6)$$

С учетом (6) радиус кривизны штриха (4) запишется в иной форме

$$\rho = R \cos \theta. \quad (7)$$

Используя выражение (7), найдем уравнение вторичной фокальной кривой вогнутой сферической решетки с непрямолинейным штрихом. Введем следующие обозначения (рис. 2). Пусть  $O, C, O'$ , т. е. точечный источник, центр решетки и изображение источника, даваемого решеткой, лежат в одной плоскости.  $PC$  — верхняя часть нелинейного штриха решетки в центре ее,  $DC$  — нормаль к решетке в точке  $C$ .  $\theta$ , как указывалось

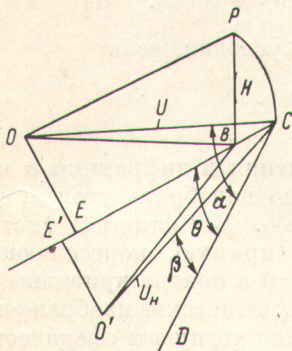


Рис. 2. Схема образования изображения вогнутой сферической решеткой с непрямолинейными штрихами.

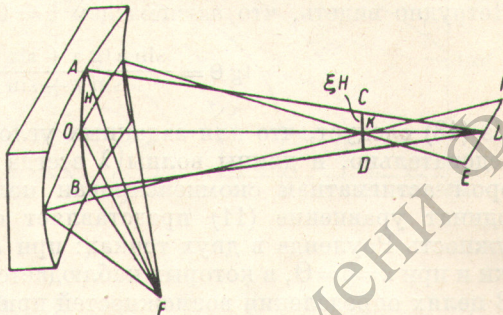


Рис. 3. Схема образования меридионального  $CD$  и сагиттального  $EF$  изображений точечного источника  $F$  вогнутой сферической решеткой с непрямолинейными штрихами.

выше, — угол, образуемый плоскостью, в которой лежит штрих, с сагиттальной плоскостью, проходящей через  $DC$ .  $OP$  — луч, падающий на решетку под углом  $\alpha$ . Расстояние от источника  $O$  до центра решетки  $C$  пусть будет  $U = OC$ .  $O'P$  — дифрагированный в точке  $P$  луч — составляет угол  $\beta$  с нормалью  $DC$  к решетке.  $O'C = U_n$  — расстояние между решеткой и изображением точечного источника в меридиональной плоскости. Величина  $U_n$  может быть найдена из условия экстремума оптического пути  $OP + O'P$  [16]. Предполагаем, что падающий луч дифрагирует в точке  $P$  высотой  $h = PB$  над горизонтальной плоскостью, проходящей через центр решетки. Если образуется изображение источника, то условие экстремума оптического пути  $OP + O'P$  луча запишется в форме

$$\frac{d}{dh} (OP + O'P) = 0. \quad (8)$$

Из  $\Delta OPB$ ,  $OBE$ ,  $O'PB$ ,  $O'BE'$ , предполагая, что  $\alpha$ ,  $\beta$  и  $\theta$ , расположенные с одной стороны от нормали, положительные, и учитывая стрелку кривизны штриха  $BC = h^2/2\rho$ , можно найти  $OP$  и  $O'P$

$$\left. \begin{aligned} OP &= \sqrt{h^2 + U^2 \sin^2(\alpha - \theta) + \left[ U \cos(\alpha - \theta) - \frac{h^2}{2\rho} \right]^2}, \\ O'P &= \sqrt{h^2 + U_n^2 \sin^2(\theta - \beta) + \left[ U_n \cos(\theta - \beta) - \frac{h^2}{2\rho} \right]^2}. \end{aligned} \right\} \quad (9)$$

Дифференцируя  $OP$  и  $O'P$  по  $h$  и пренебрегая величинами второго порядка малости, при подстановке в уравнение (8) получим

$$\frac{1}{U} + \frac{1}{U_n} = \frac{\cos(\alpha - \theta) + \cos(\theta - \beta)}{\rho}. \quad (10)$$



Для случая нахождения источника и изображения на окружности Роуланда  $U = R \cos \alpha$  и с учетом (7) и (10) получим выражение для расстояния от центра решетки до изображения в меридиональной плоскости

$$U_{\text{н}} = \frac{R \cos \alpha \cos \theta}{[\cos(\alpha - \theta) + \cos(\theta - \beta)] \cos \alpha - \cos \theta}. \quad (11)$$

Используя (11), можно также получить выражение для астигматизма вогнутых сферических решеток с нелинейными штрихами. Астигматизм определяется длиной  $\xi$  меридионального изображения, образованного решеткой единичной высоты, когда источник точечный. Если решетка имеет длину штрихов  $AB = H$ , то длина астигматического изображения будет  $CD = \xi H$  (рис. 3). Для случая расположения меридионального изображения на цилиндре Роуланда ( $OK = U_{\text{в}} = R \cos \beta$ ,  $OL = U_{\text{н}}$ ) с учетом (11) из  $\triangle ABD$  и  $CDL$  можно найти, что

$$\xi = \cos \beta [\sin \alpha \operatorname{tg} \alpha + \sin \beta \operatorname{tg} \beta - \operatorname{tg} \theta (\sin \alpha + \sin \beta)]. \quad (12)$$

Нетрудно видеть, что астигматизм  $\xi = 0$  при условии, если

$$\operatorname{tg} \theta = \frac{\sin \alpha \operatorname{tg} \alpha + \sin \beta \operatorname{tg} \beta}{\sin \alpha + \sin \beta}. \quad (13)$$

Из (13) следует, что для заданных углов падения и дифракции  $\alpha$  и  $\beta$ , а следовательно, и длины волны  $\lambda$  всегда можно подобрать угол  $\theta$ , при котором астигматизм скомпенсирован полностью. В полярной системе координат уравнение (11) представляет собой прямую, пересекающую окружность Роуланда в двух точках: при  $\alpha = \beta = 0$  в центре кривизны решетки и при  $\alpha = \beta = \theta$ , в которых наблюдается стигматическое изображение.

В целях определения возможностей применения вогнутых сферических решеток с непрямолинейными штрихами по формуле (12) был проведен расчет величины астигматизма для значений углов падения и дифракции  $\alpha$  и  $\beta$  и угла  $\theta$ , изменяющихся от 0 до  $\pm 90^\circ$ . Одновременно с этим были получены числовые данные радиуса кривизны  $r$  в зависимости от длины волн, при которых получается стигматическое изображение. Расчет производился по формулам (13) и

$$r = \frac{R}{\operatorname{tg} \theta}, \quad (14)$$

полученной из (6) и

$$k\lambda = a (\sin \alpha + \sin \beta) \quad (15)$$

для стандартных значений радиусов кривизны решеток, равных 0,5, 1, 2, 3, 6 и 10 м, с числом штрихов 1200 на 1 мм в первом порядке спектра ( $k = \pm 1$ ).

На рис. 4, а в качестве примера представлены кривые зависимости астигматизма  $\xi$  в единицах длины штриха от углов падения и дифракции для  $\theta = 10^\circ$ . Кривые соединяют точки равного астигматизма. Численные значения астигматизма приведены рядом с кривыми. Пунктирными линиями на рис. 4 показаны длины волн при дифракции от решеток 1200 штр./мм для всех углов падения и дифракции. Как видно из рис. 4, а, при значениях  $\alpha$  и  $\beta$  и угле  $\theta$ , отличных от нуля, для сферической решетки с непрямолинейными штрихами существует кривая нулевого астигматизма. В предельном случае для  $\theta = 0$  выражение (12) и вид кривых равного астигматизма (рис. 4, б) полностью совпадают соответственно с аналогичным выражением для астигматизма  $\xi = \cos \beta (\sin \alpha \operatorname{tg} \alpha + \sin \beta \operatorname{tg} \beta)$  и кривыми равного астигматизма вогнутой сферической решетки с прямыми штрихами [17], для которой астигматизм скомпенсирован только при углах  $\alpha$  и  $\beta$ , равных нулю для точки, неинтересной в спектроскопическом отношении.

Рассмотрение данных расчета показало, что с решеткой, имеющей непрямолинейные штрихи с радиусом кривизны  $r$  от десятков сантиметров до нескольких метров, в принципе можно скомпенсировать астигматизм



при углах падения и дифракции, изменяющихся в достаточно широких пределах. Однако, как будет показано ниже, наибольшая квазистигматическая область может быть получена только при углах падения и дифракции, изменяющихся от 0 до 15°.

Рассмотрим более подробно условия компенсации астигматизма и получения оптимальной квазистигматической области при установке

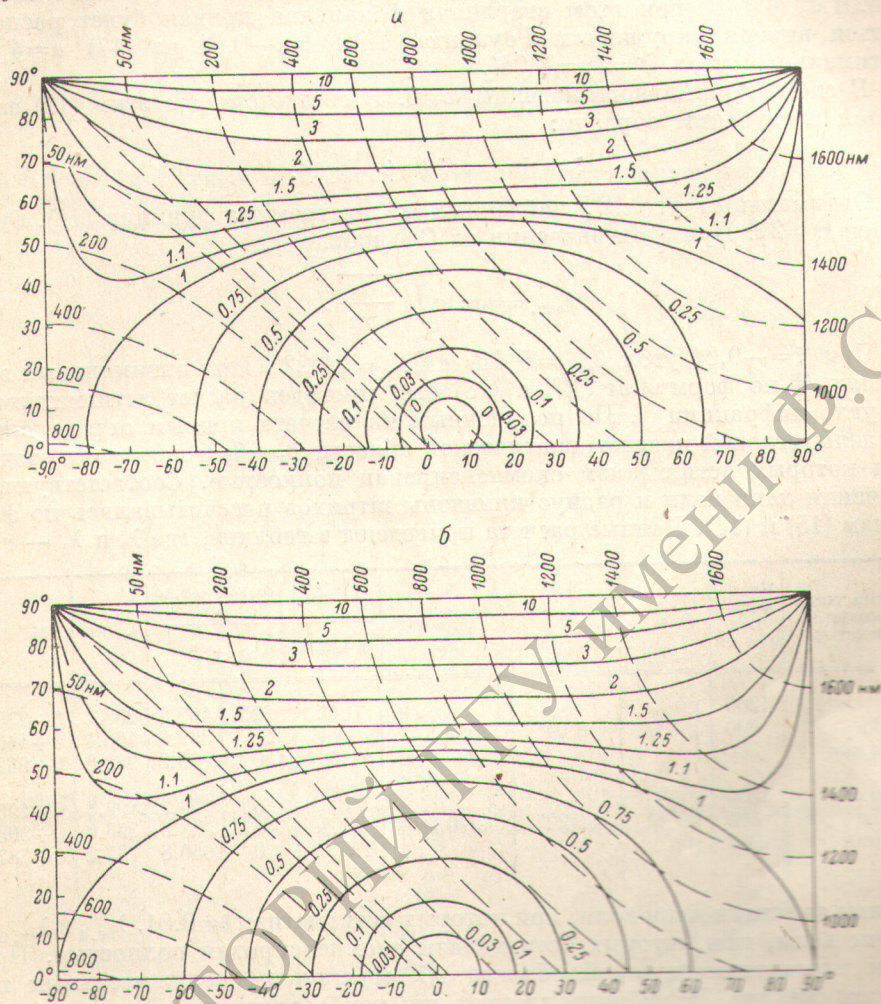


Рис. 4. Кривые равного астигматизма вогнутой сферической решетки с непрямолинейными штрихами в единицах длины штриха при углах падения и дифракции, изменяющихся от 0 до  $\pm 90^\circ$ .

а —  $\theta = 10^\circ$ , б —  $\theta = 0^\circ$ ; случай (б) относится к обычной сферической решетке с прямолинейными штрихами.

решетки с непрямолинейными штрихами в спектрографе по схеме Иглы и нормального падения. Для исследования свойств решеток в этих условиях были выбраны решетки со стандартным радиусом кривизны, равным 1000.35 мм, с числом штрихов 300, 600 и 1200 на 1 мм, с размерами заштрихованной поверхности 60×50 мм ( $H=50$  нм), чтобы иметь возможность сравнить их свойства со свойствами решеток тех же параметров, описанных в [10, 11]. Коэффициент астигматизма  $\xi$  при расчетах выбирался, как в [10, 11], равным 0.01, исходя из условия разделения изображения ступенек 9-ступенчатого ослабителя, имеющего высоту ступеньки и расстояние между ступеньками  $\sim 0.5$  мм ( $\xi H$  на рис. 3). В схеме Иглы  $\alpha = \beta$ . Из (12) выражение для  $\xi$  будет иметь вид

$$\xi = \sin 2\alpha (\operatorname{tg} \alpha - \operatorname{tg} \theta). \quad (16)$$



Оптимальный угол  $\theta = 2\alpha$  найдем, продифференцировав (16) по  $\alpha$  и приравняв  $\partial\xi/\partial\alpha = 0$ . Подставляя  $\theta = 2\alpha$  в (16) и преобразуя полученное уравнение, найдем, что

$$\alpha_{\text{опт.}} = \arctg \sqrt{\frac{\xi}{\xi - 2}}. \quad (17)$$

Выражение (17) имеет смысл только при определенных значениях  $\xi$   $-0.01 \leq \xi < 0$ , при этом вторичная фокальная кривая будет располагаться внутри окружности Роуланда. При  $\xi = -0.01$  из (17)  $\alpha = 4^{\circ}02'$ , оптимальный угол  $\theta = 2\alpha = 8^{\circ}04'$ .

В схеме нормального падения  $\alpha = 0$ . В соответствии с этим (12) запишется следующим образом:

$$\xi = \sin \beta \cos \beta (\operatorname{tg} \beta - \operatorname{tg} \theta). \quad (18)$$

Оптимальный угол  $\theta$ , найденный из экстремума функции (18), будет равен  $\theta = 2\beta$ . При этом значении из (18) найдем  $\beta_{\text{опт.}}$ .

$$\beta_{\text{опт.}} = \arctg \sqrt{\frac{\xi}{\xi - 1}}. \quad (19)$$

При  $\xi = -0.01$  угол  $\beta_{\text{опт.}} = 5^{\circ}41'$  и  $\theta_{\text{опт.}} = 11^{\circ}22'$ . При оптимальных значениях  $\theta$  по формулам (12) и (18) был проведен расчет астигматизма  $\xi$  от угла дифракции  $\beta$ . По полученным из расчета кривым определялись пределы угловой квазистигматической области  $\beta_1 - \beta_2$  и положение точек, при которых астигматизм скомпенсирован полностью. Соответствующие значения длин волн и радиус кривизны штрихов рассчитывались по формулам (15) и (14). Данные расчета приведены в таблице, где  $\lambda_1$  и  $\lambda_2$  — гра-

Схема установки решетки	Число штрихов на 1 мм	$\alpha$	$\theta$	R, мм	$\lambda_1$ , нм		$\lambda_2$ , нм	$\Delta\lambda$ , нм	
					$k = -1$	$k = +1$			
По Иглю	1200	$4^{\circ}02'$	$8^{\circ}04'$	7059.5	0.42	32.5	199.8	233.2	0 ÷ 233.2
	600				0.84	65	399.6	466.4	0 ÷ 466.4
	300				1.68	130	799.2	932.8	0 ÷ 932.8
Нормального падения	1200	0	$11^{\circ}22'$	4976.9	33.9	0	164.2	196.8	0 ÷ 196.8
	600				67.8	0	328.6	393.6	0 ÷ 393.6
	300				135.6	0	656.8	787.2	0 ÷ 787.2

ничные значения длин волн, при которых астигматизм  $\xi = 0.01$ .  $\lambda_{\text{ст.1}}$  и  $\lambda_{\text{ст.2}}$  — длины волн, при которых астигматизм скомпенсирован полностью. Пределы квазистигматической области  $\Delta\lambda$  ограничены положительным порядком спектра. Из таблицы следует, что наибольшие оптимальные квазистигматические области 0 ÷ 233.2, 0 ÷ 466.4 и 0 ÷ 932.8 нм можно получить с решетками соответственно 1200, 600 и 300 штр./мм, установленными по схеме Иглю. Ширина этих областей не зависит от радиусов кривизны вогнутой поверхности решетки. На рис. 5 приведена в полярной системе координат вторичная фокальная кривая решеток с непрямолинейными штрихами, установленными по схеме Иглю и нормального падения, рассчитанная для оптимальных значений  $\alpha$  и  $\theta$ . Как следует из рис. 5, вторичная фокальная кривая представляет собой прямую, пересекающую окружность Роуланда в двух точках: в схеме Иглю в положительной области при угле дифракции, близком к оптимальному, и в отрицательной — вблизи нормали к решетке; в схеме нормального падения — в центре кривизны сферической решетки и при  $\beta = \theta_{\text{опт.}} = 11^{\circ}22'$ . Для выяснения изменения ширины квазистигматической области по спектру был проведен расчет ширины квазистигматической области  $\Delta\lambda$  тех же решеток 1200 штр./мм, указанных в таблице, в зависимости от угла падения  $\alpha$  при  $\theta_{\text{опт.}} = 8^{\circ}04'$  для схемы Иглю и от  $\theta$  для схемы нормального падения. Расчет проводился по формулам (12) и (18). По полученным кривым астиг-



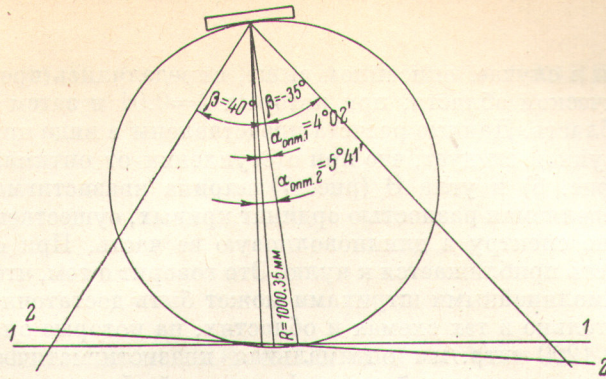


Рис. 5. Фокальные кривые вогнутой сферической решетки с непрямолинейными штрихами, установленной по схеме Иглия при  $\theta_{\text{опт.}} = 8^{\circ}04'$  и  $\alpha_{\text{опт.}} = 4^{\circ}02'$ , (1) и по схеме нормального падения при  $\theta_{\text{опт.}} = 11^{\circ}22'$  и  $\alpha_{\text{опт.}} = 5^{\circ}41'$  (2).

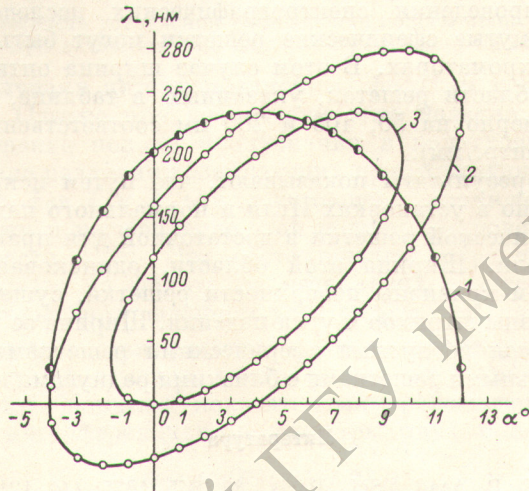


Рис. 6.

1 — кривая изменения ширины квазистигматической области  $\Delta\lambda$  в схеме Иглия от угла падения  $\alpha$ , 2 — кривая длин волн на границе квазистигматической области, 3 — кривая длин волн, для которых астигматизм скомпенсирован полностью.

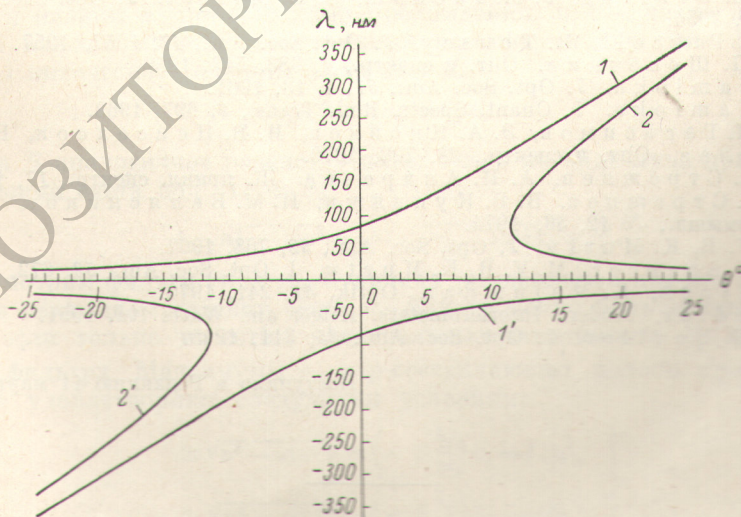


Рис. 7. Кривы изменения ширины квазистигматической области  $\Delta\lambda$  в схеме нормального падения от угла  $\theta$ . При  $\theta_{\text{опт.}} = 11^{\circ}22'$  достигается наибольшая квазистигматическая область (см. таблицу).

1 и 1' — кривые длин волн, для которых  $\xi = +0.01$ ; 2 и 2' — кривые длин волн, для которых  $\xi = -0.01$ .



матизма, как и в случае, описанном выше, определялись пределы угловой квазистигматической области, при которых  $\xi=0.01$  и затем по (15) находилась сама область. Данные расчета представлены в виде кривых на рис. 6 и 7. Из рисунков следует, что при отступлении от оптимального значения угла  $\alpha$  (рис. 6) и угла  $\theta$  (рис. 7) ширина квазистигматической области  $\Delta\lambda$ , определяемая разностью ординат кривых, существенно сужается, перемещаясь по спектру в длинноволновую ее часть. При определенных углах эта область приближается к нулю. Это говорит о том, что вогнутая решетка с непрямолинейными штрихами может быть достаточно эффективно использована только в тех схемах и областях, на которые она рассчитана. Для решеток 1200 штр./мм оптимальная квазистигматическая область лежит в основном в вакуумной ультрафиолетовой области спектра (см. таблицу); для решеток 600 штр./мм она занимает ультрафиолетовую и часть видимого участка спектра и у решеток 300 штр./мм она простирается от ультрафиолетовой до ближней ИК области спектра. Ширина этих областей пригодна для проведения спектрографических исследований. Расчет показал, что вогнутые сферические решетки могут быть также использованы и в монохроматорах. В этом случае ширина оптимальной квазистигматической области решеток, указанных в таблице, несколько увеличивается (примерно на 50, 100 и 200 нм соответственно для решеток 1200, 600 и 300 штр./мм).

Приведенные результаты показывают, что путем искривления штрихов решеток можно в установках Иглы и нормального падения исправить астигматизм сферической решетки в достаточной для практических целей области длин волн. Ширина этой области, одинаковая для решеток с любым радиусом кривизны поверхности решетки, существенно зависит от радиуса кривизны штрихов и угла падения. Ширина ее больше области, которая достигается вогнутыми сферическими решетками с переменным шагом и тороидальными решетками с близкими радиусами кривизны [10, 11].

#### Литература

- [1] A. Cornu, C. R. Acad. Sci., Paris, 80, 645, 1875; 116, 1215, 1421, 1893; 117, 1032, 1893.
- [2] I. Sakayanagi, Sci. Light, 16, 129, 1967.
- [3] Jobin Yvon, Diffraction Gratings. Accoueil France, 1969.
- [4] H. Haber, J. Opt. Soc. Am., 40, 153, 1950.
- [5] W. E. Behring, J. M. Iackom, S. G. Miller, J. Opt. Soc. Am., 44, 229, 1954.
- [6] I. D. Purcell, R. Tousey, J. Opt. Soc. Am., 47, 1057, 1957.
- [7] Ю. П. Щепеткин, Опт. и спектр., 4, 383, 513, 1958.
- [8] T. Namioka, J. Opt. Soc. Am., 51, 4, 13, 1961.
- [9] T. Namioka, J. Quant. Spectr. Rad. Trans., 2, 697, 1962.
- [10] Ф. М. Герасимов, Э. А. Яковлев, И. В. Пейсахсон, Б. В. Кочелев, Опт. и спектр., 28, 790, 1970.
- [11] С. А. Стрежнев, А. И. Андреева, Ж. прикл. спектр., 17, 156, 1972.
- [12] С. А. Стрежнев, В. В. Руинджи, Н. М. Белясников, Опт.-мех. промышл., № 12, 46, 1974.
- [13] M. V. R. K. Murty, J. Opt. Soc. Am., 52, 768, 1962.
- [14] G. H. Spencer, M. V. R. K. Murty, J. Opt. Soc. Am., 52, 672, 1962.
- [15] M. Singh, K. Majumdar, Optik, 31, 241, 1970.
- [16] Candler, Modern Interferometers. Hilger and Watts Ltd, 1951.
- [17] H. G. Beutler, J. Opt. Soc. Am., 33, 311, 1945.

Поступило в Редакцию 11 марта 1974 г.